

# Heuristics Applied to Minimization of the Maximum-Diameter Clustering Problem

José André de Moura Brito, Augusto Cesar Fadel, Gustavo Silva Semaan, Flávio Marcelo Tavares Montenegro

**Abstract**— This paper introduces two heuristic algorithms for the Maximum-Diameter Clustering Problem (MDCP), based on the Biased Random-Key Genetic Algorithm (BRKGA) and the Greedy Randomized Adaptive Search Procedure (GRASP) metaheuristics. This problem consists of finding  $k$  clusters that minimize the largest within-cluster distance (diameter) among all clusters. The MDCP is classified as NP-hard and presents increased difficulty when attempting to determine the optimal solution for any instance. The results obtained in the experiments using 50 well-known instances indicate a good performance of proposed heuristics, that outperformed both three algorithms and an integer programming model from the literature.

**Index Terms**—Clustering, Diameter, Metaheuristics, Integer Programming

## I. INTRODUÇÃO

Atualmente existe um vasto conjunto de aplicações reais que podem ser abordadas utilizando a análise de agrupamentos [1]. Tais aplicações estão associadas aos mais diversos domínios, tais como: Biologia, Engenharias, Estatística, Medicina, Computação, entre outros. Em linhas gerais, a análise de agrupamentos é uma técnica de análise multivariada que incorpora um conjunto de algoritmos, os quais têm, por finalidade, a construção de  $k$  grupos (clusters) a partir de uma base de dados constituída por  $n$  objetos (registros) com  $q$  variáveis. De forma a efetuar a alocação dos objetos aos grupos e avaliar a sua homogeneidade, utiliza-se uma função objetivo baseada em uma métrica, ou seja, uma medida de distância.

Face às variadas aplicações desta técnica e à complexidade envolvida na resolução dessas aplicações, quanto à obtenção de soluções de boa qualidade, encontram-se na literatura diversos algoritmos, classificados, basicamente, como não hierárquicos e hierárquicos [1]. A escolha da métrica e a definição da função objetivo impactam, diretamente, a alocação dos objetos aos grupos.

Além disso, ao definir a função objetivo, fica definido, conseqüentemente, o problema de agrupamento que será abordado. Neste sentido, em [2-5] são apresentados exemplos de funções objetivo e de formulações matemáticas adotadas em alguns desses problemas. Entretanto, independentemente da métrica e da função consideradas, problemas de agrupamento são, em geral, de difícil solução computacional, conforme [3], [4-9] e [10], sendo classificados como problemas NP-difíceis. Isso implica, por sua vez, que à medida que o número de objetos a serem agrupados aumenta, mais difícil torna-se a obtenção da solução ótima global para esses problemas, seja através da aplicação de métodos exatos ou mesmo heurísticas. Neste trabalho, foi considerada, em particular, a função objetivo associada ao diâmetro, caracterizando o problema de agrupamento com diâmetro mínimo, doravante denotado por PADM. Uma revisão sistemática da literatura mostra que há poucos trabalhos que trazem a proposta de algoritmos para a resolução deste problema, sendo a maioria baseada na aplicação de procedimentos simples e que produzem, no máximo, soluções correspondentes a ótimos locais de baixa qualidade. Ainda neste sentido, até o presente momento, o algoritmo relativamente mais eficaz encontrado para o PADM foi o algoritmo GRASP proposto em [11].

Os novos algoritmos propostos neste trabalho têm como diferenciais: (i) o uso de procedimentos de construção, cruzamento e busca local que garantem a produção de ótimos de melhor qualidade (muitas vezes ótimos globais, às custas de baixo tempo computacional), quando comparados às soluções produzidas pelos demais algoritmos da literatura, em particular, o algoritmo proposto em [11] que, até o presente momento, relatava os melhores resultados; (ii) a robustez e estabilidade do algoritmo baseado no BRKGA, comprovadas por experimentos computacionais da seção IV e (iii) a proposta de um novo algoritmo que teve por base uma metaheurística nunca aplicada ao PADM. A seguir, fazemos um breve relato dos trabalhos chave encontrados durante o processo de revisão.

O trabalho de [2] apresenta uma formulação de programação inteira para o problema. Além da formulação, o autor propôs um algoritmo heurístico que produz o ótimo global quando o número de grupos  $k$  é igual 2. Ainda neste sentido, foi provado, em [12], que este problema é NP-difícil quando  $k \geq 3$ . Em [13], foi proposto um algoritmo *branch and bound* específico para o problema. Todavia, conforme relatado em [11], tal algoritmo não apresenta uma boa

J.A.M. Brito, Escola Nacional de Ciências Estatísticas, Rio de Janeiro, RJ, Brasil (e-mail: jambrito@gmail.com).

A. Fadel, Instituto Brasileiro de Geografia e Estatística, Rio de Janeiro, RJ, Brasil (e-mail: augustofadel@gmail.com)

G.S. Semaan, Instituto do Noroeste Fluminense de Educação Superior da Universidade Federal Fluminense, Santo Antônio de Pádua, RJ, Brasil (e-mail: gustavosemaan@id.uff.br).

F.M.T. Montenegro, Escola Nacional de Ciências Estatísticas, Rio de Janeiro, RJ, Brasil (e-mail: fntmontenegro@gmail.com).

performance para problemas com número de objetos a partir da ordem de centenas.

Em [14], os autores propuseram um limitante superior para o PADM a partir do estudo do algoritmo hierárquico clássico de ligação completa. Em [15], os autores adotaram o algoritmo hierárquico clássico de ligação completa para resolver o PADM em aplicações reais, mais especificamente relacionadas à psicologia, e propuseram uma metodologia para definir o número de grupos  $k$  com base na convergência das soluções obtidas, a fim de produzir soluções finais mais robustas. Em [16], é apresentado um framework geral para a resolução do PADM em que consideram duas questões. Na primeira, subconjuntos de objetos são utilizados para obter *lower bounds* para a busca de soluções ótimas do problema original, enquanto a segunda apoia-se na existência de um subconjunto de objetos da instância que possui o mesmo valor no diâmetro que o do problema original.

Em função da complexidade desse problema, e objetivando produzir soluções de boa qualidade, às expensas de baixo custo computacional, são apresentados, neste artigo, dois algoritmos heurísticos, baseados, respectivamente, nos conceitos das metaheurísticas GRASP [17][18] (*Greedy Randomized Adaptive Search Procedure*) e BRKGA (*Biased Random-Key Genetic Algorithm*) [19].

Além da introdução, este artigo está dividido em mais quatro seções. A seção dois traz uma descrição do PADM, sendo apresentada, inclusive, a formulação que foi proposta em [2] para esse problema. Complementando a seção, apresenta-se uma breve descrição dos três algoritmos da literatura considerados neste trabalho para fins de comparação com as duas heurísticas propostas, quais sejam: o algoritmo GRASP proposto por [11], o algoritmo clássico de Ligação Completa (do inglês, *Complete Linkage*) [1] e o algoritmo FPF (*Furthest Point First*) apresentado em [20]. Doravante, para fins de referência neste artigo, esses três algoritmos serão denominados, respectivamente, por: GRASPD2, CL e FPF.

A seção três apresenta as metaheurísticas GRASP e BRKGA, seguidas da descrição dos dois algoritmos heurísticos propostos, denominados, respectivamente, GRASPD1 e BRKGADM. Na seção quatro, são apresentadas algumas informações sobre as instâncias utilizadas, os resultados obtidos e análises realizadas a partir dos experimentos computacionais, considerando a aplicação dos cinco algoritmos e da formulação apresentada na seção dois. Analisando os resultados dos experimentos realizados, observou-se que os algoritmos propostos têm desempenho superior aos demais algoritmos da literatura, quanto à qualidade e à quantidade das soluções produzidas. Finalizando, a seção cinco traz as conclusões.

## II. DESCRIÇÃO DO PROBLEMA

No PADM, fornecidos um conjunto  $X$  formado por  $n$  objetos  $X = \{x_1, x_2, \dots, x_i, \dots, x_n\}$ , com  $q$  variáveis (quantitativas e/ou qualitativas), tal que  $x_i = (x_{i1}, x_{i2}, \dots, x_{iq})$ , e uma matriz  $D = [d_{ij}]_{n \times n}$  que contém as distâncias entre todos os objetos  $x_i$  e  $x_j$  de  $X$ , tomados dois a dois, e definido o número de grupos

igual  $k$ , deve-se alocar os  $n$  objetos aos  $k$  grupos, denotados por  $G_1, \dots, G_h, \dots, G_k$ , de forma a minimizar o diâmetro em relação aos grupos.

Mais especificamente, determina-se, para cada grupo  $G_h$  ( $h=1, \dots, k$ ), a maior distância  $d_{ij}$  (entre dois objetos  $x_i$  e  $x_j$  mais afastados dentro do grupo), o que corresponde ao diâmetro do grupo  $G_h$ , denotado por:

$$z_h = \max_{x_i, x_j \in G_h} d_{ij} \quad (h = 1, \dots, k) \quad (1)$$

Em seguida, calcula-se o máximo de  $z_h$  ( $h=1, \dots, k$ ) obtendo-se  $Z$ , que corresponde ao maior diâmetro dentre os  $k$  grupos. Assim sendo, no PADM busca-se minimizar  $Z$  tal que

$$Z = \max_{h=1, \dots, k} z_h = \max_{h=1, \dots, k} (\max_{x_i < j \in G_h} d_{ij}) \quad (2)$$

Adicionalmente à minimização de  $Z$ , assim como em outros problemas clássicos de agrupamento, devem ser cumpridas as restrições clássicas (3-5), sejam elas:

$$G_1 \cup G_2 \cup \dots \cup G_k = X \quad (3)$$

$$G_l \cap G_s = \emptyset \quad (l < s, l, s = 1, \dots, k) \quad (4)$$

$$|G_l| \geq 1 \quad (l = 1, \dots, k) \quad (5)$$

A restrição (3) garante que união dos grupos produz o conjunto de dados original  $X$  (nenhum objeto deixa de ser alocado aos grupos). A restrição (4) garante que, cada objeto  $x_i \in X$  ( $i=1, \dots, n$ ) será alocado, exatamente, a um grupo e a restrição (5) garante que cada grupo terá, pelo menos, um objeto alocado. A Fig. 1 traz exemplo de duas soluções para o PADM, considerando o número de objetos igual sete ( $n=7$ ) e o de grupos igual a dois ( $k=2$ ). Em cada solução, a linha tracejada corresponde ao valor de  $Z$ . Assim sendo, a **Solução 2** é melhor do que a **Solução 1**.

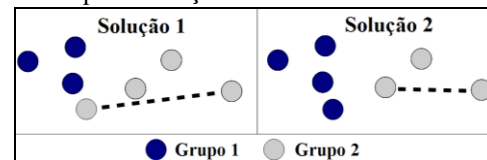


Fig. 1. Exemplo de Duas Soluções para o PADM

Em [2], são apresentadas várias formulações para problemas de agrupamento, em particular, uma formulação para o PADM. Nesta formulação, os parâmetros de entrada são o número de objetos ( $n$ ), o número de grupos ( $k$ ) e a matriz  $D = [d_{ij}]_{n \times n}$  que contém as distâncias entre os  $n$  objetos tomados dois a dois.

Além disso, define-se  $x_{ih}$  ( $i=1, \dots, n$ ;  $h=1, \dots, k$ ) como a variável de decisão binária que assume valor 1 se o objeto  $i$  é alocado ao grupo  $G_h$ ; e 0 caso contrário.

$$\text{Minimizar} \quad Z \quad (6)$$

Sujeito a

$$d_{ij} x_{ih} + d_{ij} x_{jh} - Z \leq d_{ij} \quad i=1, \dots, n-1; j=i+1, \dots, n; h=1, \dots, k \quad (7)$$

$$x_{i1} + \dots + x_{ih} + \dots + x_{ik} = 1 \quad i=1, \dots, n \quad (8)$$

$$x_{ih} \in \{0, 1\}; Z \geq 0 \quad i=1, \dots, n; h=1, \dots, k \quad (9)$$

A função objetivo minimizada em (6) corresponde ao maior diâmetro. A restrição (7) garante que os diâmetros dos grupos são menores ou iguais ao maior diâmetro  $Z$ . A restrição (8) garante que cada objeto  $i$  deve ser alocado a exatamente um dos grupos  $G_h$  ( $h=1, \dots, k$ ). A restrição (9) indica a

integralidade das variáveis  $x_{ih}$  e reforça que  $Z$  assume valores não negativos.

Esta formulação tem o número de variáveis igual a  $(n.k+1)$  e o número de restrições igual a  $k.(n^2-n)+n+1$ , ou seja, pode ter um número substancial de variáveis e restrições à medida que  $n$  aumenta. Assim sendo, pensando no ótimo global, conforme comentado em [2], a aplicação de tal formulação para este problema é factível, apenas, para valores pequenos de  $n$  (ordem de dezenas).

Em [2], o autor também propôs uma heurística que produz o ótimo global quando  $k=2$ . Basicamente, em cada passo, essa heurística tenta alocar os dois objetos mais distantes a grupos distintos. A partir dessa heurística, em [11] os autores propuseram um algoritmo GRASP que constrói uma solução inicial a partir do conjunto  $X$ , aplicando, recursivamente, a heurística proposta em [2], de forma a produzir  $k'$  grupos, sendo  $k'=2.k$ . No primeiro passo, a heurística é aplicada dividindo os  $n$  objetos da base de dados em dois grupos. Nos passos seguintes, a heurística é aplicada no grupo com maior diâmetro, e assim sucessivamente, até que sejam produzidos  $k'$  grupos.

Em seguida, a partir da solução composta pelos  $k'$  grupos, são aplicados, nesta ordem, procedimentos de construção e de busca local, de forma a produzir os  $k$  grupos finais. Em linhas gerais, o procedimento de construção efetua a união de alguns dos  $k'$  grupos até produzir  $k$  grupos. O critério de junção leva em conta o acréscimo mínimo nos diâmetros dos  $k$  grupos, e na busca local são efetuadas diversas realocações dos objetos entre os  $k$  grupos (obtidos na fase de construção), de forma a reduzir o diâmetro máximo.

O algoritmo de Ligação Completa [1] (*Complete Linkage*) ou algoritmo do diâmetro, pertence à classe dos métodos hierárquicos aglomerativos. Tem esta denominação, porque todos os objetos, em cada grupo, são conectados uns com os outros tendo por base a distância máxima. Desta forma, a distância interna do grupo se iguala ao diâmetro máximo. No passo inicial deste algoritmo, cada objeto corresponde a um grupo, sendo efetuadas, em cada passo, junções entre os objetos ou entre um objeto e grupos (definidos em passos anteriores) já formados, em função da distância máxima, definindo novos grupos. A solução deste tipo de algoritmo pode ser representada graficamente por um dendograma [1]. Em [20] os autores apresentam o algoritmo denominado FPF (*Furthest Point First*) que trabalha, selecionando do conjunto  $X$ , em cada iteração, um objeto denominado “cabeça” (centroide do grupo), que define um novo grupo. O algoritmo FPF (Algoritmo 1) tem duas etapas: Na etapa de inicialização, o algoritmo seleciona aleatoriamente de  $X$  um objeto  $x_i$ ,

sendo tal objeto definido como cabeça do grupo 1. Ainda nesta etapa, todos os  $(n-1)$  objetos restantes são inicialmente alocados ao grupo 1. Na segunda etapa, durante  $(k-1)$  iterações, são definidos os demais cabeças (centroides) dos grupos  $2, \dots, k$  e realizadas realocações dos objetos ao grupo mais próximo, considerando a distância entre o objeto e o cabeça do grupo.

#### Algoritmo 1 – Algoritmo FPF

##### Etapa de Inicialização (conjunto $X$ )

- 1: Selecione  $x_i \in X$  aleatoriamente e defina  $x_i$  como cabeça de  $G_1$
- 2: Adicione  $x_j$  a  $C$  (Conjunto com objetos cabeça, centroides)
- 3: Aloque todos os objetos ( $X \setminus C$ ) a  $G_1$

##### Etapa de Alocação

- 4: Para  $j \leftarrow 2$  até  $k$  Faça
- 5: Selecione de  $X \setminus C$  o objeto  $x_s$  mais afastado dos cabeças de  $C$
- 6: Adicione  $x_s$  em  $C$
- 7: Defina  $x_s$  como cabeça de  $G_j$
- 8: Aloque a  $G_j$  cada objeto  $x_i$  que esteja mais próximo do objeto cabeça de  $G_j$  do que o cabeça do seu grupo atual
- 9: Fim-Para

### III. METODOLOGIA DE RESOLUÇÃO

Esta seção traz uma breve descrição das metaheurísticas BRKGA e GRASP e dos algoritmos implementados para o PADM, a partir do estudo dessas metaheurísticas.

#### A. Metaheurística BRKGA

Na metaheurística BRKGA [19][21] cada solução que compõe a população (cromossomos) é representada por um vetor  $u$  (vetor de chaves aleatórias) com  $n$  valores reais, gerados segundo uma distribuição uniforme [0,1].

A população utilizada em todas gerações de um algoritmo BRKGA é constituída por um conjunto de  $p$  vetores de chaves aleatórias. Além disso, em cada geração do BRKGA aplica-se, em cada um desses vetores, um procedimento denominado decodificador (específico para o problema), que transforma cada vetor  $u$  em uma solução viável  $s$  para o problema de otimização para o qual a função objetivo deve ser computada.

Após a aplicação do decodificador e o cálculo da função objetivo considerando as  $p$  soluções viáveis, a população é particionada em dois conjuntos, a saber: um pequeno conjunto formado por  $p_e$  soluções elite, correspondentes às melhores soluções segundo o valor da função objetivo, e um conjunto formado por  $(p-p_e)$  soluções não-elite, sendo  $p_e < p-p_e$ .

Para a atualização da população entre duas gerações seguidas utiliza-se uma estratégia de elitismo, ou seja, todos os  $p_e$  cromossomos do conjunto elite em uma geração  $g$  são copiados para a população da geração  $g+1$ , produzindo soluções viáveis cada vez melhores durante as  $m$  gerações. Os  $(p-p_e)$  cromossomos que complementam a população da geração seguinte são produzidos aplicando-se procedimentos de mutação e cruzamento. Em cada geração a população é composta por:  $p_e$  cromossomos associados ao conjunto elite (geração  $g$ ),  $p_m$  cromossomos mutantes e por  $(p-p_e-p_m)$  cromossomos filhos, que são produzidos mediante aplicação do cruzamento uniforme [22]. Os critérios de parada são: (i) número máximo de gerações, (ii) tempo máximo de execução

ou (iii) número máximo de gerações sem melhoria no valor da função objetivo.

### B. Metaheurística GRASP

A metaheurística GRASP [17][18] corresponde a um método iterativo que combina procedimentos de construção e busca local. Em linhas gerais, durante  $t$  iterações, aplica-se o procedimento de construção, seguido do procedimento de busca local. O objetivo da construção é produzir soluções viáveis  $s_0$ , que podem ser melhoradas mediante a aplicação do procedimento de busca local, produzindo soluções  $s^*$  tais que  $f(s^*) < f(s_0)$  (considerando a função objetivo  $f(\cdot)$  de um problema de minimização). Ainda neste sentido, a melhor solução  $s^*$  produzida após as  $t$  iterações do GRASP será a solução adotada para o problema de otimização em questão.

### C. Algoritmo BRKGA para o PADM

Considerando o algoritmo proposto para o PADM (BRKGADM), a partir do estudo do BRKGA, cada cromossomo foi definido como um vetor  $u$  com  $n$  posições ( $n^\circ$  de objetos do problema) preenchidas com valores gerados segundo uma distribuição uniforme  $[0,1]$ , sendo cada posição de  $u$  (índice) correspondente ao índice do objeto  $x_i$ .

O decodificador implementado atribui a um vetor  $w$ , os  $n$  valores de  $u$  ordenados crescentemente. Em um passo posterior, os valores de  $w$  são pesquisados em  $u$ , retornando-se as posições que esses valores ocupam em  $u$  a um terceiro vetor  $y$ . As  $k$  primeiras posições de  $y$  contêm índices associados aos objetos que serão utilizados para a formação dos  $k$  grupos iniciais ( $G_1, G_2, \dots, G_k$ ), ou seja, o índice na 1ª posição de  $y$  (objeto ao qual foi atribuído o menor valor de  $u$ ) será alocado ao grupo  $G_1$ , e assim sucessivamente, com a alocação do objeto na  $k$ -ésima posição de  $y$  ao grupo  $G_k$ .

Os demais objetos, cujos índices estão entre as posições  $(k+1)$  e  $n$  de  $y$ , são alocados, cada um, ao grupo  $G_h$  ( $h=1, \dots, k$ ) onde ocorrer o menor incremento do diâmetro. Mais especificamente, para cada objeto  $x_i$  ( $i=k+1, \dots, n$ ) de  $y$ , determina-se, a partir da matriz  $D$  (contendo as distâncias entre todos os objetos de  $X$  tomadas dois a dois), a sua maior distância ( $d_{max} x_{ih}$   $h=1, \dots, k$ ) em relação aos demais objetos já alocados a cada um dos grupos. Em seguida, aloca-se o objeto  $x_i$  ao grupo  $h^*$  tal que  $h^* = \operatorname{argmin}_h (d_{max} x_{ih})$ .

A Fig. 2 ilustra a definição dos grupos iniciais, considerando  $n=8$ ,  $k=2$  e um vetor  $u$  hipotético. Após a aplicação desse procedimento, considerando os vetores  $u$  e  $w$  a seguir, os dois grupos iniciais são definidos pelos objetos associados às duas primeiras posições de  $y$ , ou seja:  $G_1 = \{7\}$  e  $G_2 = \{3\}$ .

A Fig. 3 ilustra (de cima para baixo e da esquerda para direita) a etapa de alocação dos  $(n-k)$  objetos aos  $k$  grupos inicialmente definidos. Novamente considerando  $n=8$  e  $k=2$ , os quadrados em cinza indicam os objetos que ainda não foram alocados a nenhum grupo, os quadrados em preto e branco indicam os objetos já alocados aos grupos 1 e 2, respectivamente, o quadrado hachurado corresponde ao próximo objeto  $x_i$  (de acordo com ordem da decodificação de  $y$ ) que será alocado a um dos grupos e as setas tracejadas

indicam, para  $G_h$ , qual a maior distância de  $x_i$  ao grupo. O segmento de reta cinza corresponde ao diâmetro máximo  $Z$ . No caso do PADM, o cruzamento possibilita a troca dos  $k$  primeiros objetos que definirão, inicialmente, os grupos, além de alterar a ordem de alocação dos  $(n-k)$  objetos aos grupos  $G_1, G_2, \dots, G_k$ .

		Índices (número dos objetos)							
Vetor		1	2	3	4	5	6	7	8
$u$		0.34	0.71	0.12	0.28	0.83	0.69	0.02	0.54
$w$		0.02	0.12	0.28	0.34	0.54	0.69	0.71	0.83
$y$		7	3	4	1	8	6	2	5

Fig. 2. Procedimento de aplicação do decodificador

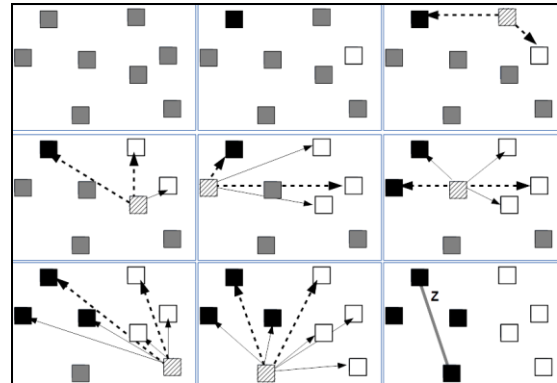


Fig. 3. Etapa de Alocação dos  $(n-k)$  objetos aos grupos

### D. Algoritmo GRASP para o PADM

No que concerne ao GRASP proposto para o PADM, o procedimento de construção foi desenvolvido para operar em duas etapas, quais sejam: **(1)** são selecionados  $k$  objetos dentre os  $n$  objetos da base de dados (conjunto  $X$ ), sendo cada um desses objetos alocados a um grupo  $G_h$  ( $h=1, \dots, k$ ). Doravante, denotaremos cada um desses objetos como centroide do grupo. A ideia é alocar os  $k$  objetos mais afastados, entre si, a grupos distintos. **(2)** Alocar os  $(n-k)$  objetos restantes aos  $k$  grupos a partir da definição de uma lista restrita de candidatos.

Para efetuar a alocação dos  $k$  objetos, definindo-se os centroides dos grupos, toma-se, inicialmente por base, um vetor  $d = (d_1, \dots, d_i, \dots, d_n)$ , onde cada componente  $d_i$  de  $d$  contém a maior distância do  $i$ -ésimo objeto  $x_i$  em relação aos demais  $(n-1)$  objetos de  $X$ . Em seguida, cria-se um vetor  $b$  que contém os elementos do vetor  $d$  ordenados decrescentemente. Finalmente, os valores de  $b$  são pesquisados em  $d$ , retornando-se, em um vetor  $a$ , as posições que tais valores ocupam em  $b$ . O vetor  $a$ , por sua vez, será utilizado como dado de entrada pelo procedimento de construção em todas  $t$  iterações do algoritmo GRASPM. Por exemplo, supondo  $n=8$  e que os vetores  $d$  e  $b$  produzam o vetor  $a = (2, 5, 1, 7, 4, 3, 8, 6)$ , temos que 2 é o objeto com a maior distância em relação aos demais objetos de  $X$ , 5 é o objeto com a segunda maior distância em relação aos demais, e assim sucessivamente.

Considerando os valores nas  $n'$  primeiras posições de  $a$  ( $n' = 0.7n$ ), define-se o vetor  $s = (a_1, a_2, \dots, a_{n'})$ . Em cada iteração, o procedimento de construção seleciona  $k$  elementos do vetor  $s$ , sendo cada um desses elementos associados a um

grupo  $G_h$  ( $h=1, \dots, k$ ).

O algoritmo 2 tem os passos associados à primeira etapa de aplicação do procedimento de construção, considerando o vetor  $s$  e a matriz  $D$  (com distâncias  $d_{ij}$  entre todos os objetos  $x_i$  e  $x_j \in X$ ).

---

#### Algoritmo 2 – GRASP – 1ª Etapa de Construção( $D, s, n'$ )

```

1:  $G[1] \leftarrow$ selecione( $s, 1$ )
2:  $s \leftarrow s \setminus G[1]$ 
3:  $n' \leftarrow n' - 1$ ;  $h \leftarrow 1$ 
4: Enquanto ( $h < k$ ) Faça
5:    $M \leftarrow 0$ 
6:   Para  $i \leftarrow 1$  Até  $n'$  Faça
7:     Para  $j \leftarrow 1$  Até  $h$  Faça
8:       Se ( $d[s[i]][G[j]] > M$ ) Então
9:          $w \leftarrow i$ ;
10:         $M \leftarrow d[s[i]][G[j]]$ 
11:      Fim-se
12:    Fim-Para
13:  Fim-Para
14:   $h \leftarrow h + 1$ 
15:   $G[h] \leftarrow s[w]$ ;  $n' \leftarrow n' - 1$ ;  $s \leftarrow s \setminus G[h]$ 
16: Fim-Enquanto
17: Retorna( $G$ )

```

---

Na linha 1 deste algoritmo, é selecionado de  $s$ , aleatoriamente, o objeto (1º centroide) que definirá o primeiro grupo ( $G_1$ ) e, nas linhas 2 e 3, ocorre a atualização do vetor  $s$  e do seu número de elementos, excluindo o objeto selecionado na linha 1. Entre as linhas 5 e 15, ocorre a seleção de  $k-1$  objetos de  $s$  que serão os centroides dos grupos  $G_2, G_3, \dots, G_k$ . Assim sendo, na primeira iteração, considerando as linhas 6 até 13, o próximo objeto a ser escolhido de  $s$ , e que será utilizado para definir o grupo 2, é aquele que está mais distante do centroide do grupo  $G_1$ . Após a execução dessas linhas, temos a atualização (linha 14) do número de grupos e a definição do grupo  $G_2$  (linha 15). Generalizando, na  $h$ -ésima iteração, considerando as linhas 5 a 15, define-se o objeto de  $s$  que será alocado ao  $h$ -ésimo grupo, considerando a condição explicitada na linha 8.

Definidos os  $k$  centroides dos grupos, os  $n-k$  objetos restantes em  $X$  são alocados aos grupos  $G_1, \dots, G_k$ , utilizando o algoritmo 3. Na linha 1 do algoritmo 3, a lista de candidatos ( $LC$ ) é definida, inicialmente, com todos os objetos de  $X$ , excluindo-se os  $k$  objetos utilizados como centroides dos grupos  $G_h$  ( $h=1, \dots, k$ ). Em cada iteração desse algoritmo (linhas 4 a 22) um objeto da  $LC$  é alocado ao grupo  $G_h$  que esteja mais próximo (menor distância). Mais especificamente, entre as linhas 6 e 15, determina-se a distância máxima de cada objeto  $x \in LC$  a cada um dos grupos  $G_h$ , ou seja, dentre os objetos já alocados a cada um dos grupos, verifica-se qual objeto está mais afastado de  $x$ .

Assim sendo, após a execução das linhas 9-11, o vetor  $dmax$  tem a maior distância de  $x$  a cada um dos grupos  $G_h$ . Na linha 13, associa-se a  $g[t]$  o menor valor de  $dmax$ , que corresponde ao menor incremento que pode ser observado ao alocar  $x$  ao grupo  $G_h$ . Na linha 14,  $H[x]$  armazena o número do grupo ao qual  $x$  deve ser alocado. Uma vez realizados os passos entre 6 e 15, no passo 16 determina-se o menor e o

maior acréscimos associados à alocação de objetos da  $LC$  na solução em construção. No passo 17, define-se a  $LRC$  a partir de um subconjunto de objetos da  $LC$  e, no passo 18, é selecionado um objeto da  $LRC$  para ser alocado a um dos grupos, atualizando-se o diâmetro do grupo e a lista de candidatos  $LC$  (passos 19-21). Após a aplicação do algoritmo 3, produz-se uma solução com os grupos (alocação dos  $n$  objetos de  $X$ ) e o diâmetro máximo.

---

#### Algoritmo 3 – GRASP – 2ª Etapa de Construção( $G, X, n$ )

```

1:  $LC \leftarrow X \setminus \{G_h\}$ 
2:  $i \leftarrow 0$ 
3:  $Z[h] \leftarrow -\infty$  ( $h=1, \dots, k$ )
4: Enquanto ( $i < n-k$ ) Faça
5:    $i \leftarrow i + 1$ 
6:   Para  $t \leftarrow 1$  Até ( $n-k-i+1$ ) Faça
7:      $max \leftarrow -\infty$ 
8:      $x \leftarrow LC[t]$ 
9:     Para  $h \leftarrow 1$  Até  $k$  Faça
10:       $dmax[h] \leftarrow$ maximo  $v_{y \in G_h}(d[x][y])$ 
11:    Fim-Para
12:     $h^* \leftarrow argmin_h (dmax[h])$ 
13:     $g[x] \leftarrow dmax[h^*]$ 
14:     $H[x] \leftarrow h^*$ 
15:    Fim-Para
16:     $g_{min} \leftarrow$ minimo( $g$ );  $g_{max} \leftarrow$ maximo( $g$ )
17:     $LRC \leftarrow \{t \in LC \mid g[t] \leq g_{min} + 0.2(g_{max} - g_{min})\}$ 
18:     $x \leftarrow$ selecione( $LRC, 1$ )
19:    Se ( $g[x] > Z[H[x]]$ ) Então  $Z[H[x]] \leftarrow g[x]$ 
20:     $G[H[x]] \leftarrow G[H[x]] \cup x$ 
21:     $LC \leftarrow LC - x$ 
22: Fim-Enquanto
23: Retorna( $G$ )

```

---



---

#### Algoritmo 4 – GRASP – Busca Local( $G, Z$ )

```

1: reducao  $\leftarrow$  VERDADEIRO
2: Enquanto (reducao = VERDADEIRO) Faça
3:   reducao  $\leftarrow$  FALSO
4:    $w \leftarrow argmax_{h=1, \dots, k} (Z[h])$ 
5:    $Z_{MAX} \leftarrow Z[w]$ 
6:   Atribua a  $y_i$  e  $y_j$ , respectivamente os pontos  $x_i, x_j \in G[w]$  associados ao diâmetro  $Z_{MAX}$  de  $G[w]$ 
7:   Para  $h \in \{1, \dots, k\} \setminus w$  Faça
8:     Se (alocação de  $y_i$  ou  $y_j$  a  $G[h]$  produz  $Z[h] < Z_{MAX}$ ) Então
9:        $Z_{MAX} \leftarrow Z[h]$ ;  $h^* \leftarrow h$ 
10:       $x_k \leftarrow (y_i \text{ ou } y_j)$  que produz maior decréscimo em  $Z[h^*]$ 
11:      reducao  $\leftarrow$  VERDADEIRO
12:    Fim-se
13:  Fim-Para
14:  Se (reducao = VERDADEIRO) Então
15:    Alocar  $x_k$  a  $G[h^*]$  e atualizar o grupo  $G[w]$ 
16:    Atualizar o vetor  $Z$ 
17:  Fim-se
18: Fim-Enquanto

```

---

Com o objetivo de reduzir o diâmetro máximo, foi aplicada a busca local apresentada no algoritmo 4. Em linhas gerais, este algoritmo determina, em cada iteração, o grupo atual com maior diâmetro e verifica se a alocação de um dos dois objetos  $x_i$  e  $x_j$  desse grupo (que determinam esse diâmetro maior  $d_{ij}$ ) a um dos  $k-1$  grupos restantes produz um novo conjunto de grupos  $G_h$  ( $h=1, \dots, k$ ), tal que o maior diâmetro dentre os diâmetros dos  $k$  grupos seja inferior ao maior diâmetro atual. Enquanto ocorrer (linha 2) redução no

diâmetro, novas iterações são realizadas, identificando-se o grupo com maior diâmetro e avaliando-se a alocação dos objetos associados a este grupo a outros grupos. Nas linhas 4, 5 e 6, determina-se o número do grupo  $G_w$  atual com maior diâmetro e os dois objetos que determinam este diâmetro. Entre as linhas 7-13, é avaliado se a alocação de um desses objetos a outros grupos produz redução no diâmetro máximo. A alocação que produz a maior redução no diâmetro é considerada nos passos 14-17, e efetua-se a atualização dos grupos que tiveram realocação de objetos, mais especificamente, os grupos  $G_w$  e  $G_h$ \*

#### IV. RESULTADOS COMPUTACIONAIS

A presente seção traz resultados relativos à aplicação dos algoritmos BRKGADM e GRASPDM1, descritos na seção III, da formulação da seção II e dos algoritmos CL e FPF. Em relação ao algoritmo GRASPDM2 (correspondente ao algoritmo GRASP-II proposto em [11]), os seus autores não disponibilizaram a sua versão implementada. Assim sendo, conforme explicado mais à frente, foi considerado um experimento específico, onde os resultados obtidos para um conjunto de instâncias utilizadas em [11] foram comparados com os resultados produzidos pelos algoritmos BRKGADM, GRASPDM1, CL e FPF. Os algoritmos BRKGADM, GRASPDM1 e FPF foram implementados em linguagem R ([www.r-project.org](http://www.r-project.org)), o algoritmo CL está disponível em R, no pacote *cluster* (função `hclust`) e a formulação foi implementada pelos autores utilizando a versão 14.0 do *solver* de otimização LINGO (<https://www.lindo.com>).

Todos os experimentos relacionados aos algoritmos e à formulação foram realizados em um computador com 24GB de memória RAM e dotado de processador de 3.40 GHz (I7).

De forma a avaliar os algoritmos BRKGADM e GRASPDM1 frente aos três algoritmos da literatura e à formulação, no que diz respeito à qualidade das soluções produzidas, foram considerados dois experimentos, a saber: **(Experimento - I)** os algoritmos BRKGADM, GRASPDM1, FPF, CL e a formulação foram aplicados nas 29 instâncias listadas na Tabela I. Esta tabela traz o nome da instância, seu número de objetos ( $n$ ) e a origem ( $O$ ). Quanto à origem, essas instâncias são distribuídas em 8 grupos, a saber: (1) literatura, sendo citadas e utilizadas, por exemplo, em [4] e [6]; (2) site do IBGE ([www.ibge.gov.br](http://www.ibge.gov.br)) e da universidade da Califórnia ([archive.ics.uci.edu/ml/](http://archive.ics.uci.edu/ml/)); (3) gerada artificialmente no *software* R; (4) disponível no pacote MASS no R; (5) utilizadas em [23]; (6) e (7) disponíveis, respectivamente, nos pacotes *cluster.dataset* e *dataset* do R e (8) disponível em <https://cs.joensuu.fi/sipu/datasets/>;

**(Experimento - II)** os algoritmos BRKGADM, GRASPDM1, FPF e CL foram aplicados em 21 instâncias listadas na tabela II. Esta tabela traz o nome da instância (formato *xxx\_y*, sendo *xxx* correspondente ao número de objetos, variando entre 300 e 1.000, e *y* correspondente ao número de grupos ( $k$ ) que foi considerado ao aplicar o algoritmo GRASPDM2 nessas instâncias). Estas 21 instâncias, gentilmente cedidas pelos autores de [11], foram geradas artificialmente de acordo com

procedimento descrito em [11]. Os resultados produzidos pelos algoritmos BRKGADM, GRASPDM1, FPF e CL, para estas instâncias, foram comparados com os resultados produzidos pelo algoritmo GRASPDM2, apresentados na tabela I (table 1, pg 518), disponível em [11]. Em todas as instâncias das Tabelas I e II, foi considerada a distância euclidiana para a construção da matriz de distâncias  $D$  (vide seção II), que é utilizada no cálculo da função objetivo do problema.

TABELA I  
INSTÂNCIAS UTILIZADAS – EXPERIMENTO I

Instância	n	O	Instância	n	O
200DATA (2)*	200	1	idh2013 (1)	187	2
2face (2)	200	1	indochina combat (4)	72	6
Aggregation (2)	788	8	iris (4)	150	1
Airqualit (2)	153	7	maronna (2)	200	1
BreastB (1213)	49	5	moreshapes (2)	489	1
broken-ring (2)	800	1	normal300 (2)	300	3
Chart (60)	600	1	numbers2 (2)	540	1
concrete data (9)	1.030	2	Parkinsons (23)	195	2
cpu (8)	209	4	pib100 (1)	100	2
DBLCA (661)	141	5	ruspini (2)	75	1
face (2)	296	1	vowel2 (2)	528	1
Faithful (2)	272	7	wholesale (6)	440	2
Forestfires (7)	517	2	wine (13)	178	1
gauss9 (2)	900	1	yeast (7)	1.484	1
Haberman (4)	306	2			

\*Valores entre parênteses após nome da instância indicam o número de atributos

TABELA II  
INSTÂNCIAS UTILIZADAS – EXPERIMENTO II

Instâncias					
400_3	500_3	600_3	700_3	800_3	900_3
1000_3	400_4	500_4	600_4	700_4	800_4
900_4	1000_4	400_5	500_5	600_5	700_5
800_5	900_5	1000_5			

Em relação ao experimento I, os resultados do BRKGADM e GRASPDM1 foram comparados com os da formulação (teve tempo máximo de execução de 2 horas) e com os dos algoritmos CL e FPF, considerando as 29 instâncias e  $k=2,3,4,5$ . Ou seja, foram produzidas 116 soluções ( $n^{\circ}$  de instâncias x  $n^{\circ}$  de grupos). No experimento II, adotou-se, para cada uma das 21 instâncias, o mesmo valor de  $k$  apresentado na Tabela II.

Os parâmetros utilizados do BRKGADM e GRASPDM1 foram definidos a partir de experimentos preliminares em um subconjunto de 5 instâncias (dentre as 29), sendo testadas várias combinações dos seus parâmetros. Assim sendo, os valores finais utilizados no algoritmo BRKGADM foram:  $p=100$  (tamanho da população);  $p_m=20$ ;  $p_e=25$  (número de cromossomos mutantes e elite);  $\rho_e=0.7$  (probabilidade de cruzamento) e  $m=50$  (número de gerações). De igual forma, após a realização de experimentos preliminares em relação ao GRASPDM1, o número de iterações  $t$  (aplicação da construção e busca local) foi definido igual a 75 e o valor de  $\alpha=0.2$ .

Para fins de análise e construção dos gráficos e tabelas a seguir, foi considerada como solução “vencedora” a melhor solução produzida (ótimo local ou global) por, pelos menos, um dos algoritmos ou pela formulação.

Uma análise da Fig. 4 mostra que o BRKGADM teve uma performance superior em relação aos demais algoritmos e à formulação, seguido pelo algoritmo GRASPDM1. Mais



especificamente, os percentuais de soluções vencedoras do BRKGADM para  $k=2, 3, 4$  e  $5$  foram, respectivamente, de: 100%, 97%, 97% e 83%. No caso do GRASPDM1, estes percentuais foram de: 100%, 86%, 72% e 45%.

A tabela III traz os *gaps* médios (%) para cada um dos algoritmos e número de grupos, tomando por base as 29 instâncias e a expressão:  $(z_{ij} - z_{vj})/z_{vj}$ , sendo  $z_{vj}$  o valor do menor diâmetro (função objetivo) associado à solução vencedora em relação à  $j$ -ésima instância e  $z_{ij}$  o valor do menor diâmetro (fobj) produzido pelo  $i$ -ésimo algoritmo (ou formulação) para  $j$ -ésima instância. A partir desta tabela, observa-se que BRKGADM teve *gaps* médios bem pequenos, inferiores a 0,5%, independentemente do número de grupos.

TABELA III  
EXPERIMENTO I – GAPS MÉDIOS EM RELAÇÃO À SOLUÇÃO VENCEDORA

	k=2	k=3	k=4	k=5
Formulação	0,00%	7,9%	27,0%	39,7%
BRKGADM	0,00%	0,4%	0,0%	0,2%
GRASPDM1	0,00%	1,6%	1,8%	8,8%
FPF	2,5%	9,1%	15,0%	32,0%
CL	6,9%	14,0%	25,4%	35,7%

Concluindo a análise dos resultados do Experimento I, a tabela IV traz o percentual de soluções ótimas globais produzidas dentro do intervalo de 2 horas pela formulação e pelos dois melhores algoritmos (BRKGADM e GRASPDM1). Em particular, o BRKGADM produziu o mesmo percentual de ótimos globais que a formulação, a menos do número de grupos igual a 4. O tempo de processamento do BRKGADM variou entre 2 segundos (menor instância) e 1,1 minutos (maior instância). No caso do algoritmo GRASPDM1, os tempos variaram entre 3 segundos e 5 minutos. A Tabela V traz, para as instâncias reportadas na Tabela II, os percentuais de soluções vencedoras e os *gaps* médios, obtidos com a aplicação dos algoritmos BRKGADM, GRASPDM1, GRASPDM2, FPF e CL. Novamente, pode-se observar que o BRKGADM teve performance superior aos demais algoritmos quanto ao total de soluções vencedoras e *gaps* médios. Destaca-se, também, uma vantagem do algoritmo GRASPDM1 em relação ao GRASPDM2, tanto em relação ao percentual de soluções vencedoras quanto ao *gap* médio.

De forma a avaliar a robustez das soluções produzidas pelo algoritmo BRKGADM, o algoritmo com melhores soluções, realizou-se um experimento com 7 instâncias dos experimentos I ( $k=3,4,5$ ) e II. O BRKGADM foi aplicado 100 vezes nestas instâncias e, a partir das 100 soluções (valores de  $Z$ ) produzidas, foram calculadas as estatísticas resumo apresentadas na tabela VI. Nesta tabela, a partir da coluna três, temos os valores: mínimo (*min*), médio (*med*) e máximo (*max*) em relação a  $Z$ , além do coeficiente de variação das soluções.

TABELA IV  
EXPERIMENTO I – PERCENTUAIS DE ÓTIMOS GLOBAIS

	k=2	k=3	k=4	k=5
Formulação	89,7%	62,1%	37,9%	13,8%
BRKGADM	89,7%	62,1%	34,5%	13,8%
GRASPDM1	89,7%	48,3%	31,0%	6,9%

TABELA V  
EXPERIMENTO II  
PERCENTUAIS DE SOLUÇÕES VENCEDORAS E GAPS MÉDIOS

Algoritmo	%Vencedoras	Gap
BRKGADM	90,5%	0,5%
GRASPDM1	81,0%	1,1%
GRASPDM2	66,7%	4,3%
FPF	0,0%	29,5%
CL	9,5%	20,0%

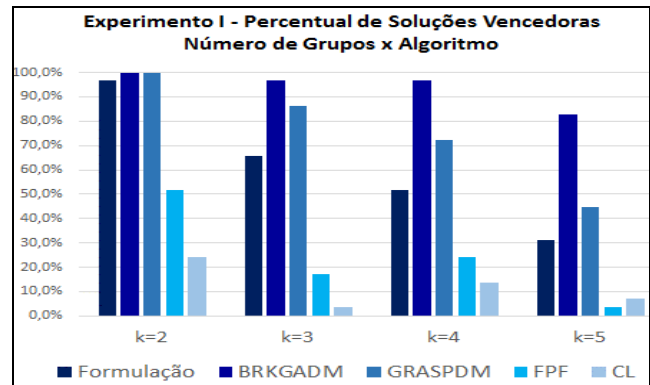


Fig. 4. Gráfico com os percentuais de soluções vencedoras.

TABELA VI  
ESTATÍSTICAS RESUMO DAS 100 EXECUÇÕES DO BRKGADM

Instância	k	min	med	max	cv%
DBLCA	3	51,968	51,968	51,968	0,00
DBLCA	4	49,035	49,035	49,035	0,00
DBLCA	5	47,848	47,848	47,848	0,00
maronna	3	3,058	3,058	3,058	0,00
maronna	4	1,988	1,988	1,988	0,00
maronna	5	1,859	1,859	1,859	0,00
moreshapes	3	2,435	2,435	2,435	0,00
moreshapes	4	2,282	2,283	2,312	0,14
moreshapes	5	1,555	1,555	1,555	0,00
Haberman	3	5,128	5,128	5,128	0,00
Haberman	4	4,427	4,448	4,554	0,71
Haberman	5	4,182	4,182	4,182	0,00
broken-ring	3	2,908	2,908	2,908	0,00
broken-ring	4	2,119	2,119	2,119	0,00
broken-ring	5	1,924	1,932	1,935	0,27
C3600	4	0,545	0,545	0,545	0,00
C3900	3	0,104	0,104	0,107	0,64

Em todos os casos, o valor mínimo obtido para  $Z$  (*min*) foi igual à solução produzida pelo algoritmo BRKGADM nos experimentos I e II. Além disso, em 13 dos 17 casos, o coeficiente de variação (*cv*) foi igual a zero e, nos demais casos, foi inferior a 1%. Isso significa que, na maioria das vezes, o algoritmo produz a mesma solução e que esta corresponde à melhor solução, uma vez que a solução média, na maioria dos casos, foi igual à solução mínima.

## V. CONCLUSÕES

O presente artigo trouxe a proposta de dois algoritmos heurísticos para o PADM baseados nas metaheurísticas GRASP e BRKGA. Foram realizados experimentos computacionais com esses algoritmos e mais três algoritmos de literatura, além de uma formulação de programação inteira em dois conjuntos de instâncias de porte variado quanto ao número de objetos. Tendo como critérios de avaliação o número total de melhores soluções e o *gap* médio, o algoritmo BRKGADM foi o que teve a melhor performance frente aos demais algoritmos, seguido pelo GRASPDM. Estes

algoritmos produziram, também, soluções melhores que o algoritmo GRASP proposto em [11]. Além disso, no experimento adicional com o BRKGADM, para avaliar a robustez, observou-se que o algoritmo foi robusto e produziu soluções de boa qualidade. Em trabalhos futuros, pretende-se desenvolver novos decodificadores para o BRKGADM e novos procedimentos de construção e busca local para o GRASPD1, bem como avaliar a aplicação desses algoritmos em mais instâncias.

#### REFERÊNCIAS

- [1] J.F. Hair, W.C. Babin, J.B. Anderson, R.E. and Black, W.C., *Multivariate Data Analysis*, 8th Edition, 2018.
- [2] M.R., Rao, "Cluster Analysis and Mathematical Programming," *Journal of American Statistical Association*, vol. 66, pp. 622-626, 1971.
- [3] P., Hansen and B., Jaumard, "Cluster Analysis and Mathematical Programming," *Mathematical Programming*, vol. 79, pp. 191-215, 1997.
- [4] M.D. Cruz, "O Problema de Clusterização Automática," Tese de doutorado, Coppe/UFRJ, Rio Janeiro, Brasil, 2010.
- [5] J.A.M., Brito, G.S., Semaan e L.R., Brito, "Resolução do Problema dos k-medoids Via Algoritmo Genético de Chaves Aleatórias Viciadas," *Revista Pesquisa Naval*, vol. 27, pp.126-142, 2015.
- [6] G.S., Semaan, "Algoritmos para o Problema de Agrupamento Automático," Tese de doutorado, IC/UFF, RJ, Brasil, 2013.
- [7] G.S., Semaan, A.C., Fadel, J.A.M., Brito e L.S.Ochi, "A Hybrid Heuristic with Hopkins Statistic for the Automatic Clustering Problem," *IEEE Latin America Transactions*, vol. 17, no. 1, 2019.
- [8] Alexeis Joel Ochoa Reyes, A.J.O., Arturo Orellana Garcia, A.O., Mui, Y.L. System for Processing and Analysis of Information Using Clustering Technique. *IEEE Latin America Transactions*. VOL. 12, NO. 2, 2015.
- [9] C. D. Guerrero, D. Salcedo and, H. Lamos "A Clustering Approach to Reduce the Available Band width Estimation Error" *IEEE LATIN AMERICA TRANSACTIONS*, VOL. 11, NO. 3, 2013.
- [10] Thomas, J.C.R., Penãs, M.S., Cofre M.M, Carralero, N.D. "Performance Analysis of Clustering Internal Validation Indexes with Asymmetric Clusters" *IEEE LATIN AMERICA TRANSACTIONS*, VOL. 17, NO. 5, 2019.
- [11] J.A., Fiorucci, F.M.B., Toledo and M.C.V., Nascimento, "Heuristics for minimizing the maximum within-clusters distance", *Pesquisa Operacional*, vol.32, no. 3, pp: 497-522, 2012.
- [12] P. Hansen and M., Delattre, "Complete-link cluster analysis by graph coloring," *Journal of the American Statistical Association*, vol. 73, pp. 397-403, 1978.
- [13] M.J., Brusco and S. Stahl, "Branch and Bound applications in combinatorial data analysis," New York, Springer-Verlag, 2005.
- [14] Großwendt, A., Röglin, H. Improved Analysis of Complete-Linkage Clustering, *Algorithmica*, vol 78, pp. 1131–1150, 2017.
- [15] M. Brusco, D. Steinley. "Model selection for minimum - diameter partitioning" *British Journal of Mathematical and Statistical Psychology*, vol. 67, pp. 471-495, 2014., pp. 471-495, 2014.
- [16] D. Aloise and Contardo, C. (2016). A New Global Optimization Algorithm for Diameter Minimization Clustering. *Proceedings of Global Optimization Workshop (GOW16)*, Portugal.
- [17] M.G.C., Resende and C.C., Ribeiro, "Optimization by GRASP: Greedy Randomized Adaptive Search Procedures," 2nd ed., Springer, 2016.
- [18] M.G.C., Resende and C.C. Ribeiro. GRASP: Greedy Randomized Adaptive Search Procedure: Advances and extensions. *Handbook of 3rd edition*, M. Gendreau and J.-Y. Potvin, Eds., Springer, pp. 169-220, 2019.
- [19] J.R., Gonçalves and M.G.C., Resende, "Biased random-key genetic algorithms for combinatorial optimization," *Journal of Heuristics*, vol. 17, pp: 487-525, 2011.
- [20] Gonzalez, "Clustering to minimize the maximum intercluster distance," *Theoretical Computer Science*, vol. 38, pp: 293-306, 1985.
- [21] M.G.C., Resende, "Introdução aos Algoritmos Genéticos de Chaves Aleatórias Viciadas," *Anais do XLVSPPO*, pp: 3680-3691, 2013.
- [22] W.M., Spears and K.A., Dejong, "On the virtues of parameterized uniform crossover," in *Proceedings of Fourth International Conference on Genetic Algorithms*, pp: 230-236, 1991.

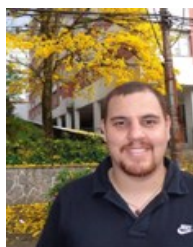
- [23] M.C.V., Nascimento, F.M.B., Toledo e A.C.P.L.F, de Carvalho, "Investigation of a new GRASP- based clustering algorithm applied to biological data," *Computers & Operations Research*, vol. 37, pp:1381-1388, 2010.



**José André de Moura Brito** tem bacharelado em Matemática pela UFRJ (1997), Mestrado e Doutorado em Otimização pela COPPE/UFRJ (1999 e 2004) e Pós-Doutorado em Otimização na UFF (2008). É professor da Escola Nacional de Ciências Estatísticas (ENCE/IBGE).



**Augusto Cesar Fadel** é bacharel em Estatística pela Escola Nacional de Ciências Estatísticas (ENCE) e tem mestrado em Ciência da Computação na UFF. Atua como estatístico no Instituto Brasileiro de Geografia e Estatística (IBGE), onde desenvolve atividades relacionadas a controle estatístico de sigilo e uso de big data.



**Gustavo Silva Semaan** é Professor da Universidade Federal Fluminense (UFF). Doutor e Mestre pelo Instituto de Computação da UFF. Bacharel em Sistemas de Informação pela Faculdade Metodista Granbery.



**Flávio Marcelo Tavares Montenegro** é Professor da Escola Nacional de Ciências Estatísticas (ENCE). Tem mestrado em Física pelo Centro Brasileiro de Pesquisas Físicas (1997) e doutorado em Engenharia de Sistemas e Computação pela COPPE/UFRJ (2001).